

نسل جدید سیستم کنترل وضعیت میکروماهواره با استفاده از عملگرهای کنترلر مومنتوم سیالی

نقی شجاعی

دانشجوی دکتری مهندسی هوافضا
مرکز تحقیقات فضایی نوین
kpshojae@ihu.ac.ir

* احمد سلیمانی

کارشناس ارشد مهندسی هوافضا
دانشگاه شهید بهشتی
ah.soleymani@mail.sbu.ac.ir

امیرحسین تقی

کارشناس ارشد مهندسی مکانیک
دانشگاه صنعتی شریف
amir.taghavi@yahoo.com

تاریخ پذیرش: ۱۳۹۲/۹/۹

تاریخ دریافت: ۱۳۹۲/۸/۵

چکیده

طی چند سال گذشته، عملگرهای جدیدی به نام کنترلرهای مومنتوم سیالی برای کنترل وضعیت میکروماهواره پیشنهاد شده است. این فناوری نسبت به دیگر عملگرهای ذخیره‌ساز مومنتوم، دارای نسبت گشتاور اعمالی به وزن بالاتر، جانمایی و اتصال راحت‌تر و ارتعاش انتقالی کمتر می‌باشد. در این مقاله، الزاماتی پیرامون نحوه عملکرد کنترلرهای مومنتوم سیالی جهت تعیین وضعیت میکروماهواره‌ها مطرح و انواع سازوکارهای مورد استفاده جهت به گردش درآوردن سیال به همراه روابط حاکم بر تولید گشتاور کنترل وضعیت و محدوده کاربرد هر یک برحسب شرایط متنوع مأموریت مداری تشریح شده است.



واژگان کلیدی: سیستم کنترل وضعیت، پمپ الکتروحرارتی، کنترلر مومنتوم سیالی، میکروماهواره

۱. مقدمه

کنترلی و عملگرهای آن بستگی دارد. با توجه به اینکه بیشترین مصرف انرژی در ماهواره، پس از قرارگیری آن در مدار، در عملگرهاست، بنابراین می‌توان گفت که عمر کاری ماهواره را نوع منبع انرژی و نوع عملگرها تعیین می‌کنند و بهمین دلائل است که صنعت فضایی در بی‌عملگرهای کنترل وضعیت با قابلیت اطمینان بالا، پریازده و کم‌هزینه می‌باشد. تاکنون عملگرهای متنوعی چون تراسترهای، چرخهای عکس‌العملی / مومنتوم^۱، گشتاوردهندهای مغناطیسی و ژایروهای کنترل ممان ساخته و استفاده

کنترل وضعیت ماهواره، یک زیرسیستم اصلی است که در نهایت وظیفه بقاء ماهواره را بر عهده دارد. توانایی کنترل وضعیت یک ماهواره در بسیاری از ملزمومات عملیاتی نقشی حیاتی دارد. در میان زیر اجزای این سیستم، این عملگرها هستند که باید با اعمال گشتاور مورد نیاز، ماهواره را به وضعیت مطلوب هدایت کنند. بنابراین یک نقص کوچک در این زمینه می‌تواند به شکست در عملیات بیانجامد و بازگردانی سرمایه به کار رفته را بی‌ثمر کند. دقت در عملیات ماهواره (مثلًاً وضوح عکس‌های فتوگرافیک) به دقت روش

همان اندازه و همان وزن بسیار بیشتر است. در نتیجه نسبت گشتاور اعمالی به وزن یا حجم آن افزایش پیدا می‌کند و لذا برای استفاده در میکروماهواره‌ها مناسب‌ترند [۱].

این عملگرها همچنین دارای ویژگی‌های مفید دیگری هستند. یک کنترلر مومنتوم سیالی، که در آن شعاع حلقة سیال بهقدر کافی بزرگ باشد، بازده انرژی را بهوسیله کم کردن سرعت چرخشی و جرم سیستم بهبود می‌بخشد. ژایروهای کنترل ممان به خاطر کارکردن در حالتی با چگالی انرژی بالا، به یک سکوی ایزوله کننده ارتعاشات نیاز دارند. اما کنترلرهای مومنتوم سیالی ارتعاش کمتری را به سازه منتقل می‌کنند. همچنین از گردش سیال داخل تیوب‌ها می‌توان به عنوان کنترل حرارت^۴ استفاده کرد. در واقع تیوب‌های سیال می‌توانند همانند یک رادیاتور عمل کنند و گرمای تولیدشده در سیستم را به بیرون انتقال دهند [۱].

۲. مروری بر فعالیت‌های گذشته

با توجه به اینکه فعالیت‌های مینارد، در سال ۱۹۸۸م، از نخستین فعالیت‌های علمی در زمینه کنترلرهای مومنتوم سیالی می‌باشد، ادبیات موجود در این زمینه محدود است. مینارد استفاده از کنترلرهای مومنتوم سیالی را برای ختنی‌سازی گشتاورهای اغتشاشی اعمالی روی ماهواره‌ها، کشتی‌های اقیانوس‌پیما و دیگر سیستم‌های معلق پیشنهاد داد [۲]. این تحقیق توسط لوری و چیبر برای کنترل وضعیت ماهواره توسعه داده شد. آنها نشان دادند که لوب‌های سیالی، که یک نوع عملگر سیالی هستند، می‌توانند هر نوع شکلی داشته باشند تا بتوانند به راحتی در فضای قابل دسترس در یک ماهواره جاسازی شوند [۳]. لاگلین یک سیستم دو کاربری را پیشنهاد داد که هم وضعیت را اندازه‌گیری می‌کرد و هم گشتاور موردنیاز را اعمال می‌نمود [۴]. این سیستم شامل یک آهنربای دائم و یک لوب سیالی پرشده با یک سیال رسانای جریان الکتریکی بود. حرکت زاویه‌ای ماهواره سبب چرخش سیال

شده‌اند. به جز تراسترهای گشتاوردهندهای مغناطیسی، که یک گشتاور خارجی تولید می‌کنند، مابقی این عملگرها براساس اصول کلی بقای مومنتوم زاویه‌ای ماهواره را در مقابل گشتاورهای اغتشاشی پایدار می‌نمایند. عملگرهای کنترل وضعیت مرسوم، همانند ژایروهای کنترل ممان، عموماً بهوسیله چرخاندن سریع روتور، یک مومنتوم را برای ماهواره ایجاد می‌کنند. اما به تازگی عملگرهایی پیشنهاد شده است که در آنها به جای چرخاندن یک جسم صلب، از چرخاندن یک سیال درون یک تیوب دایروی برای تولید ممان استفاده می‌شود. این عملگرها عموماً به نام کنترلرهای مومنتوم سیالی^۵ شناخته می‌شوند. از جمله مزایای این عملگرها، انعطاف‌پذیری آنها در کاربردشان می‌باشد. برای مثال، چون یک کنترلر مومنتوم سیالی سبک‌تر و کم‌حجم‌تر از یک ژایروی کنترل ممان است، می‌تواند برای بسیاری از عملیات فضایی به کار رود. در واقع بدون افزایش چشمگیر وزن سیستم کنترلی، شعاع حلقة سیال را می‌توان به گونه‌ای تغییر داد که برای ماهواره و عملیات مورد نظر مناسب باشد. همچنین این کنترلر قابلیت استفاده به عنوان دمپر را نیز داراست و در صورت اختلال در بخش کنترلی، قابلیت استفاده به صورت غیرفعال را دارد [۱].

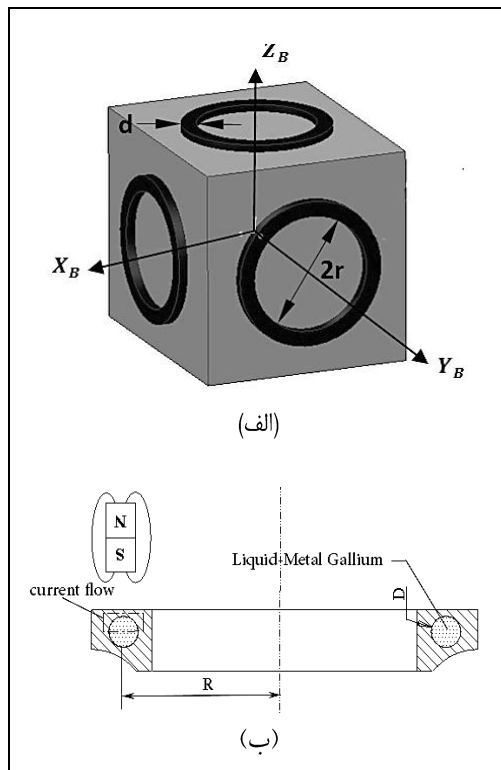
چون کنترلرهای مومنتوم سیالی می‌توانند روی ماهواره‌های کوچک‌تر پیاده‌سازی شوند، این عملگرها قادرند در رشد سریع فناوری ماهواره‌های میکرو و نانو نیز استفاده شوند. اهتمام طراحان و متولیان امر، استفاده از ماهواره‌های میکرو و نانو می‌باشد؛ زیرا هزینه فرستادن ماهواره‌های کوچک‌تر و سبک‌تر در مدار بسیار کمتر است. دسترسی به وزن و حجم کم در میکروماهواره، منع بزرگی بر سر راه پیاده‌سازی سیستم‌های کنترل مرسوم در طراحی این ماهواره‌ها می‌باشد. از جمله راه حل‌های ممکن برای این منظور استفاده از کنترلرهای مومنتوم سیالی است. در کنترلرهای مومنتوم سیالی، چون اکثر جرم در بیشترین شعاع قرار دارد، ممان اینرسی کنترلر نسبت به یک چرخ عکس‌العملی با



۱. پمپ‌های مکانیکی
 ۲. پمپ‌های الکترومغناطیسی
 ۳. پمپ‌های الکتروحرارتی
- که در ادامه روابط و سازوکار عملکردی هر یک از این روش‌ها مطرح می‌شود.

۲-۱. پمپ‌های مکانیکی

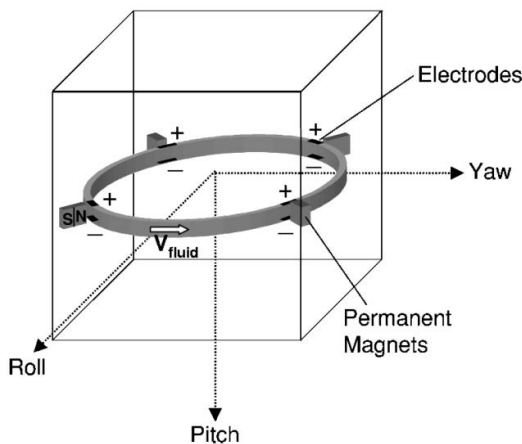
معمولًاً به دلیل وجود تنش برشی روی دیوارهای لوب، حرکت سیال درون لوب‌های بسته سبب اتلاف انرژی می‌شود. بنابراین پمپ‌ها وظیفه دارند تا اختلاف فشاری درون سیال به وجود بیاورند تا در صورت نیاز به اعمال گشتاور روی ماهواره به سیال شتاب دهند و یا در غیر این صورت فشاری برابر با تنش برشی اصطکاکی ایجاد کنند تا از کاهش سرعت سیال و ایجاد گشتاور روی ماهواره جلوگیری نمایند. در شکل ۱ نمایی شماتیک از یک میکروماهواره مجهز به کنترلر مومنتوم سیالی نمایش داده شده است.



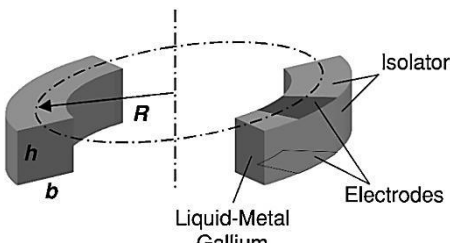
شکل ۱. نمایی پیشنهادی کنترلر مومنتوم سیالی

درون این لوب می‌شد. چون این سیال رسانا بود و در معرض میدان مغناطیسی قرار داشت، ولتاژ القایی می‌توانست برای تعیین وضعیت ماهواره استفاده شود. از سوی دیگر، با اعمال یک ولتاژ به سیال، یک میدان الکتریکی تولید می‌شود که در واکنش به یک میدان مغناطیسی، سبب تولید گشتاور می‌شود. این امر می‌تواند برای پایدارسازی وضعیت ماهواره استفاده شود. ایزکندرین یک رینگ عکس‌العملی سیالی را پیشنهاد داد که می‌توانست وضعیت یک فضایپما را با واکنش نشان‌دادن به حرکت سیال درون رینگ کنترل کند [۵]. ورتاراجو برای کاهش وزن و همچنین استفاده از گرمای اضافی درون فضایپما، یک سیستم مرکب از کنترل وضعیت و کنترل حرارت را پیشنهاد داد. طرح کلی این سیستم براساس چرخش یک سیال هادی جریان الکتریکی بود. این جریان الکتریکی نیز بهوسیله داکت عبوری سیال که در معرض گرادیان حرارتی بود، تولید می‌شد [۶]. او سپس براساس این طرح یک سیستم کنترل سه‌محوره ماهواره را پیشنهاد داد که برمبانی روش کنترلی H_2 و H_∞ بود [۷]. کلی عملکرد یک کنترلر مومنتوم سیالی را در یک آزمایش با استفاده از دو لوب سیالی، که محورهای تقارن آنها در یک جهت بود، آزمایش کرد [۱]. در این آزمایش، از دو پمپ برای تولید جریان دوجهته در هر لوب استفاده شد. کومار نیز یک کنترل وضعیت سه‌جهته را با استفاده از سه لوب سیالی عمود بر هم بررسی کرد [۸]. او حرکت زاویه‌ای ماهواره مجهز به سه رینگ سیالی را در یک مدار بیضوی بررسی کرد. اما مدل دینامیکی توسعه‌یافته در آن، شامل همه ممانهای عکس‌العملی انتقال‌یافته بین ماهواره و رینگ‌های سیالی نبود. بهتازگی نوبری و همکارش مدل کومار را با توسعه یک نسخه کامل‌تر بهبود بخشیدند. آنها یک سیستم تشخیص عیب^۵ را با استفاده از چهار رینگ سیالی که در یک پیکربندی هرمی قرار گرفته بودند توسعه دادند [۹]. از این‌رو تاکنون سه روش برای به جریان انداختن سیال درون تیوب‌ها پیشنهاد شده است:

که اغلب از آن استفاده می‌شود، گالیم مایع – آهنی^۷ است. نقطه ذوب این سیال در حدود ۳۰۳ درجه کلوین است که البته در صورت نیاز، این مقدار توسط افزودن ایندیم (۲۴ درصد) و قلع (۱۶ درصد) کاهش می‌یابد. با این حال، از سیال‌های رسانای دیگر، که نقطه ذوب پایین‌تری دارند، نیز می‌توان استفاده کرد. در شکل ۲ نمایی شماتیک از یک پمپ الکترومغناطیسی نمایش داده شده است. همان‌گونه که مشاهده می‌شود سیال رسانا درون یک داکت با سطح مقطع مستطیلی جریان می‌یابد (شکل ۳).



شکل ۲. نمایی شماتیک از یک پمپ الکترومغناطیسی [۶]



شکل ۳. مشخصات داکت مستطیلی [۶]

چنانچه این داکت با دیوارهای ماهواره نیز در ارتباط باشد، گرمای اضافی توسط سیال منتقل می‌شود و یک فرایند خنک‌کاری اتفاق می‌افتد. به خاطر حرکت سیال، یک مومنتوم زاویه‌ای درون داکت تولید می‌شود که برای کنترل وضعیت ماهواره استفاده می‌گردد سرعت چرخش سیال تحت تأثیر چگالی شار مغناطیسی و جریان تولیدی در الکترودها می‌باشد. با این حال، افزایش سرعت جریان با

میزان تنش برشی به وجود آمده روی دیوارهای لوب از

رابطه ۱ به دست می‌آید:

$$\tau = \frac{1}{8} f \rho v^2 = \frac{1}{8} f \rho r^2 \omega_s^2 \quad (1)$$

به طوری که در این رابطه ρ چگالی سیال، r شعاع رینگ، v سرعت سیال نسبت به رینگ و نهایتاً f ضریب اصطکاک است. برای جریان‌های آرام، که در آنها عدد رینولدز^۸ کمتر از ۲۳۰۰ است، ضریب اصطکاک از رابطه ۲ به دست می‌آید:

$$f = \frac{64}{R_n} \quad (2)$$

به طوری که در این رابطه R_n عدد رینولدز است که مقدار آن از رابطه ۳ به دست می‌آید:

$$R_n = \frac{\rho v d}{\mu} \quad (3)$$

در این رابطه v سرعت جریان، d قطر متوسط رینگ و μ لزج سیال است. برای جریان‌های مغوش، ضریب اصطکاک از رابطه ۴ به دست می‌آید:

$$f = \frac{0.3164}{R_n^{0.25}} \quad (4)$$

با ضرب کردن تنش برشی در شعاع عمل (r) و انتگرال گرفتن این المان ممان روی سطح خیس‌شده، گشتاور اصطکاکی از رابطه ۵ به دست می‌آید:

$$T_f = \text{sign}(\omega_s) 2\pi^2 \tau r^2 d \quad (5)$$

در این رابطه فرض شده است که $d \gg r$ است.

پمپ مکانیکی نیز شامل یک موتور الکتریکی و یک پره است. با ایجاد اختلاف پتانسیل الکتریکی و گردش پره، یک اختلاف فشار درون سیال ایجاد می‌شود. بنابراین روابط حاکم بر پمپ‌های مکانیکی نیز همانند روابط حاکم بر موتورهای الکتریکی است.

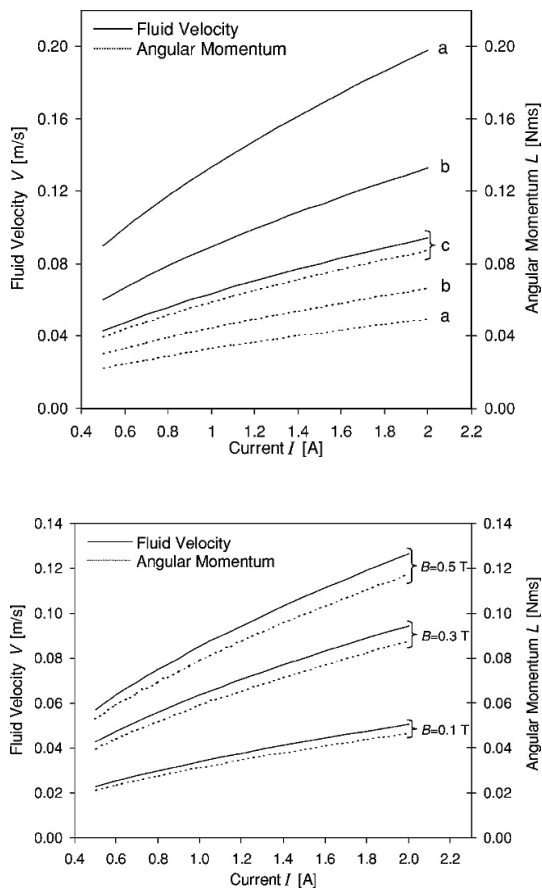
۲-۲. پمپ‌های الکترومغناطیسی

در این روش، از آهنربای دائمی و الکترود برای به حرکت در آوردن سیال استفاده می‌شود. سیالی که در این حالت استفاده می‌شود، یک سیال رسانای الکتریکی است. سیالی

$$b=5\text{mm} \quad J_f=0.15\text{kg.m}^2$$

$$(ج) \quad r=0.5\text{m} \quad h=20\text{mm}$$

$$b=5\text{mm} \quad J_f=0.46\text{kg.m}^2$$



شکل ۴. سرعت جریان و مومنتوم زاویه‌ای

بر حسب جریان الکتریکی [۶]

پارامتر مهم دیگری که باید بررسی شود، توان مصرفی سیستم است. افت ولتاژ (U_e) در یک پمپ الکترومغناطیسی به خاطر مقاومت الکتریکی سیال (R_e) و انتقال الکتریکی هیدرودینامیکی (C_{he}) می‌باشد، که از رابطه ۱۱ بدست می‌آید:

$$U_e = C_{he}AV + R_eI = BhV + \left(\frac{h}{bl_e \sigma_{ec}} \right) I \quad (11)$$

به طوری که در آن l_e طول الکترود ($\sim 0.01\text{m}$) و $C_{he} = \frac{B}{b}$ است. با توجه به پیکربندی در نظر گرفته شده، مجموع توان مصرفی بیشتر از ۱۰۰ وات نیست که در

استفاده از افزایش جریان ساده‌تر از آن است که بخواهیم این کار را با افزایش شار مغناطیسی انجام دهیم. برای تخمین سرعت جریان، فرض شده است که بردارهای چگالی شار مغناطیسی و جریان اعمالی بر یکدیگر عمود هستند. بنابراین یک نیروی لرز (F_L) عمود بر سطح مقطع سیال القاء می‌شود:

$$F_L = hIB \quad (6)$$

به طوری که در این رابطه B چگالی شار مغناطیسی و I جریان الکتریکی می‌باشد. با فرض اینکه نیرو روی سطح مقطع ثابت باشد، فشار پمپ معادل از رابطه ۷ به دست می‌آید.

$$\Delta p_{pump} = \frac{F_L}{A} = \frac{IB}{b} \quad (7)$$

در نتیجه سرعت جریان از رابطه برنولی قابل دستیابی است:

$$p_{inlet} = p_{outlet} + \Delta p_{loss} - n\Delta p_{pump} \quad (8)$$

با توجه به اینکه در یک سیستم بسته، فشار ورودی با فشار خروجی برابر است، بنابراین خواهیم داشت:

$$\Delta p_{loss} = n\Delta p_{pump} \quad (9)$$

میزان فشار اتلافی نیز از رابطه ۹ به دست می‌آید. با اعمال این رابطه در رابطه ۹، سرعت جریان از رابطه ۱۰ به دست می‌آید:

$$V = \left(\frac{nIBd^{1.25}}{0.32b\nu^{0.25}\pi r\rho} \right)^{\frac{4}{7}} \quad (10)$$

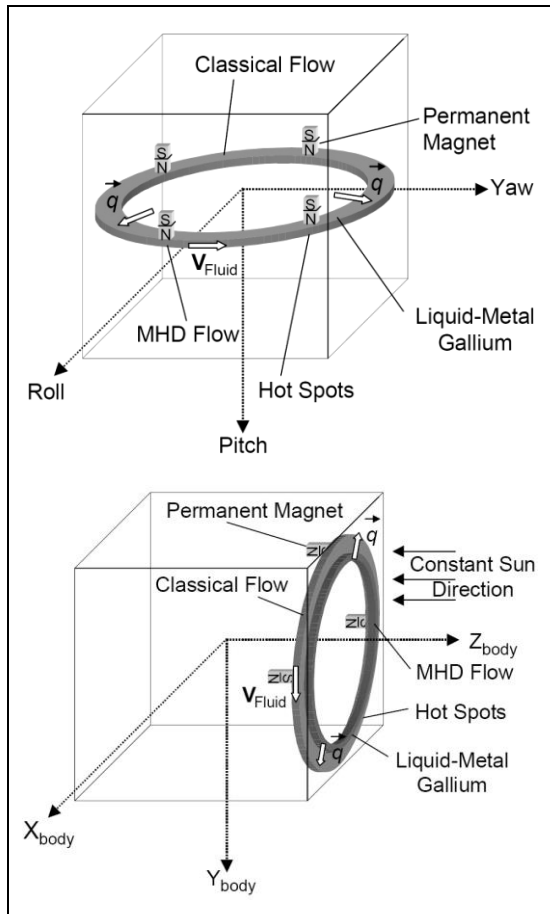
به طوری که در این رابطه ۷ لزجت سینماتیک سیال است. شکل ۴ سرعت جریان و مومنتوم زاویه‌ای را بر حسب جریان الکتریکی اعمالی نشان می‌دهند. در شکل ۴ الف، چگالی شار مغناطیسی ثابت و برابر با $B = 0.3T$ و تعداد پمپ‌ها برابر ۴ در نظر گرفته شده است و فقط طول و ارتفاع و شعاع داکت به عنوان متغیر در نظر گرفته شده است.

$$(الف) \quad r = 0.15\text{m} \quad h = 30\text{mm}$$

$$b = 10\text{mm} \quad J_f = 0.04\text{kg.m}^2$$

$$(ب) \quad r = 0.3\text{m} \quad h = 30\text{mm}$$

نمایش داده شده است. حرارت رسیده از خورشید، برای مثال برای ماهواره‌های مشاهده‌گر خورشید، به دیواره‌های مجاور اتلاف می‌شود. در هر دو حالت می‌توان با تنظیم چگالی شار مغناطیسی، یک جریان از سیال را به وجود آورد.



شکل ۶. روش‌های متنوع پیاده‌سازی پمپ‌های الکتروحرارتی [۶]

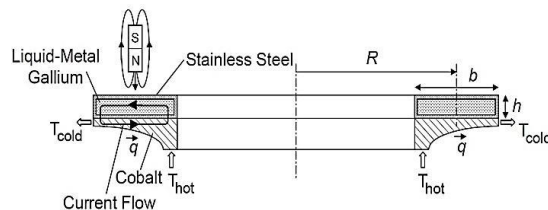
برای پمپ‌های الکتروحرارتی، معادلات عملکردی همانند معادلات پمپ‌های الکترومغناطیسی هستند. در این حالت، تنها باید میزان جریان الکتریکی به وجود آمده را تخمین زد. جریان الکتریکی به وجود آمده در این حالت، بستگی به توان الکتروحرارتی سیستم ΔS ، گرادیان دمايی ΔT و رسانایی الکتریکی سیستم σ_{ce} دارد. با به کاربردن قانون اهم، جریان محلی ایجاد شده در این حالت به صورت رابطه ۱۲ خواهد بود:

$$I_{local} = \sigma_{ce} \left(\frac{A_e}{b} \right) \Delta S \Delta T \quad (12)$$

مقایسه با یک چرخ عکس‌العملی که توان مصرفی آن ۴~۱۵ وات است، بسیار کمتر می‌باشد. اما مومنتوم زاویه‌ای قابل دسترس در این حالت ($1/10$ نیوتون متر ثانیه) کمتر از مومنتوم زاویه‌ای یک چرخ عکس‌العملی می‌باشد.

۲-۳. پمپ‌های الکتروحرارتی

به‌دلیل وجود مشکل محدودیت جریان در پمپ‌های الکترومغناطیسی، در این قسمت به پمپ‌های الکتروحرارتی که از پدیده Seebeck برای رسیدن به سرعت‌های جریانی بالاتر استفاده می‌کنند، می‌پردازیم. در شکل ۵ نمایی شماتیک از این نوع پمپ‌ها نمایش داده شده است. یک مثال سیستمی از این طراحی شامل یک بخش تولید انرژی الکتروحرارتی ساخته شده از جنس کبالت، بخش محفظه ساخته شده از جنس فولاد ضد زنگ و سیال گالیم می‌باشد. تفاوت و گرادیان دمایی در کبالت سبب تولید جریان الکتریکی در آن می‌شود. زمانی که یک میدان مغناطیسی به این جریان الکتریکی اعمال شود، نیروی لرزش سبب القاء حرکت در سیال می‌شود.



شکل ۵. نمایی شماتیک از پمپ‌های الکتروحرارتی [۷]

روش‌های متنوعی برای پیاده‌سازی چنین سیستمی روی میکروماهواره‌ها وجود دارد. شکل ۶ الف سیستمی را نشان می‌دهد که از آن برای اتلاف حرارت اضافی از نقاط داغ روی دیواره‌های ماهواره استفاده می‌شود. به عبارت دیگر، یک منبع حرارتی موجود روی دیواره‌های جانبی ماهواره، که به‌سمت خورشید قرار دارند، می‌تواند به‌وسیله استفاده از یک گرم‌ماگیر^۸ به هسته سیستم منتقل شود تا دمای دیواره‌های قرارگرفته در معرض نور کاهش یابند. روش دیگر برای پیاده‌سازی چنین سیستمی در شکل ۶ ب

آمپر و مومنتوم زاویه‌ای در حدود $95/0$ نیوتن متر ثانیه تولید خواهد کرد.

۳. نتیجه‌گیری

در این مقاله، توضیحاتی درباره سازوکار عملگرهای مومنتوم سیالی و مزايا و معایب آن مطرح شد. همان‌طور که گفته شد، اين عملگرها به‌دلیل نسبت گشتاور اعمالی به وزن بالا، همچنین به‌دلیل جانمایی راحت‌تر، برای استفاده در میکروماهواره‌ها مناسب‌اند. همچنین درباره سازوکارهای متنوع گردش سیال داخل تیوب و روابط فیزیکی حاکم بر آن نیز مطالعه دکر شد. نتایج نشان داده شده برای یک مثال عملکردی حاکی از آن است که در یک مأموریت فضایی چنانچه ماهواره در معرض تابش حرارتی باشد می‌توان از پمپ‌های الکتروحرارتی بهره برد؛ زیرا در این حالت بازده سیستم نسبت به دیگر روش‌های گردش سیال بیشتر است.

به‌طوری‌که در این رابطه A ، از ضرب محیط متوسط داکت l_f در h به‌دست می‌آید. بخش مغناطیسی هیدرودینامیکی^۹ در حدود ۵ درصد محیط سیستم را شامل می‌شود، بنابراین هر بخش MHD در حدود $0/05$ متر می‌باشد (این اندازه برای داکت مثال بخش قبلی مناسب است). گالیم و فولاد ضدزنگ هیچ توان الکتروحرارتی ندارند و توان الکتروحرارتی کبالت نیز $35-35$ میکروولت بر کلوین می‌باشد. شکل ۷ سرعت سیال و مومنتوم زاویه‌ای آن را بر حسب چگالی شار مغناطیسی نشان می‌دهد. در این شکل پارامترهای به کار رفته به صورت زیر می‌باشد:

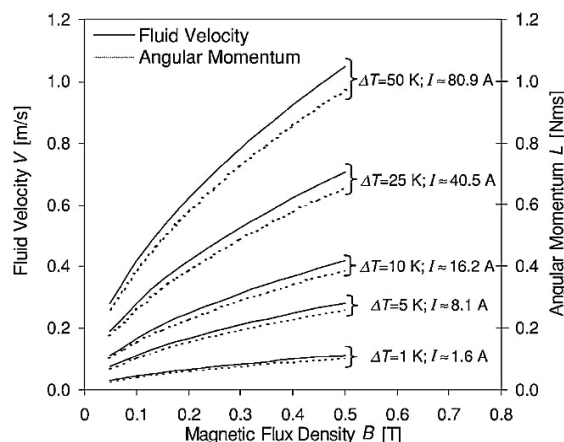
$$n = 4$$

$$r = 0.5 \text{ m}$$

$$h = 5 \text{ mm}$$

$$b = 20 \text{ mm} \quad J_f = 0.46 \text{ kg.m}^2$$

همان‌طور که در این شکل نشان داده شده است، یک گرادیان دمایی در حدود 50°C کلوین، جریانی در حدود 80 گرادیان دمایی در حدود 50°C کلوین، جریانی در حدود 80



شکل ۷. سرعت جریان و مومنتوم زاویه‌ای بر حسب چگالی شار مغناطیسی [۶]

۴. مأخذ

- [1] Kelly, A., C., Mc Chesney, C., Smith P. Z., Waltena S., “A Performance Test of a Fluidic Momentum Controller in Three Axes,” NASA report, 2004.
- [2] Maynard, R.S., “Fluid Momentum Control”, U.S. Patent 4, 1998, pp. 776,541.
- [3] Lurie, B.J., Schier, J.A., “Liquid-ring Attitude-control System for Spacecraft”, NASA Tech Briefs, 1990.

- [4] Laughlin, D.R., Sebesta, H.R., Ckelkamp-Baker, D.E., “A Dual Function Magneto hydrodynamic (MHD) Device for Angular Motion Measurement and Control”, *Advances in the Astronautical Sciences*, Vol.111, 2002, pp.335-348.
- [5] Iskenderian, T.C., “Liquid angular-momentum compensator”, NASA Tech. Briefs, 1989.
- [6] Varatharajoo, R., Kahle, R., Fasoulas, S., “Approach for combining spacecraft attitude and thermal control systems”, *J. Spacecraft Rockets*, vol.40 No.5, 2003.
- [7] Alkhodari, S.B., Varatharajoo, R., “ H_2 and H_∞ control options for the combined attitude and thermal control system (CATCS)”, *Advances in Space Research*, vol. 43, 2009, pp. 1897–1903.
- [8] Kumar K.D., “Satellite Attitude Stabilization Using Fluid Rings”, online publication of *Acta Mechanica*, 2009.
- [9] Nobari, N.A., Misra, A.K., “Satellite Attitude Stabilization Using Four Fluid Rings”, *AIAA Guidance, Navigation, and Control Conference*, Toronto, Canada, 2010.

پی‌نوشت

-
1. RW
2. Control Moment Gyro (CMG)
3. Fluidic Momentum Controller (FMC)
4. Thermal Control Subsystem

5. Fault Tolerant

6. Reynolds number

7. Liquid-Metal Gallium

۸. گرمگیر (Heat sink) وسیله‌ای است که معمولاً برای تبادل حرارتی یک قطعه با محیط به کار می‌رود. اگرچه در طراحی بسیاری از مدارهای قدرت از تقویت‌کننده‌های کلاس B و AB استفاده می‌شود که از بازده حرارتی نسبتاً خوبی برخوردارند، اما با این‌همه توان تلفشده در ترانزیستورهای خروجی می‌تواند سبب گرمشدن بیش از حد و رسیدن دما به حد غیرمجاز شود. حتی در مدارهایی که ظاهراً به عنوان مدار قدرت تلقی نمی‌شوند، تراکم بسیار زیاد ترانزیستورها سبب انباشت بیش از حد گرما در تراشه می‌شود. در چنین مواردی لازم است برای سهولت تبادل حرارتی قطعه مورد نظر با محیط تمهداتی بیاندیشیم. در قطعات الکترونیکی مجزا از قبیل ترانزیستورهای قدرت این امر از طریق نصب قطعه روی یک گرمگیر فلزی - که معمولاً از جنس الومینیوم است و سطح زیادی جهت تبادل حرارتی با محیط اطراف دارد - صورت می‌گیرد. در مدارهای مجتمع - مثلاً در تراشه ریزپردازندۀای جدید - مشاهده می‌شود که از یک فن کوچک بر روی گرمگیر استفاده می‌شود تا به خنکنمودن هرچه بیشتر تراشه کمک کند. معمولاً بین سطح مورد نظر و گرمگیر از ترکیب

مخصوص، که خریب انتقال حرارت بالای دارد، استفاده می‌شود [ویراستار].

9. magneto hydrodynamics

به اطلاع مخاطبان علاقمند و خوانندگان محترم مجله علمی ترویجی مهندسی مکانیک می‌رساند تمامی فرم‌های مورد نیاز جهت تعامل و همکاری با این مجله در وبگاه انجمن مهندسان مکانیک ایران بارگذاری شده است و در دسترس همگان قرار دارد. شایسته است نویسندهای کان محترم پیش از هر اقدام جهت ارسال مقاله به دیرخانه انجمن، این فرم‌ها را دانلود و مطالعه کنند تا این رهگذر روند ارسال، داوری، پذیرش و چاپ مقاله‌ها و گزارش‌ها دقیق‌تر و در کمترین زمان ممکن انجام شود.

هیئت تحریریه مجله مهندسی مکانیک